

# 变压器实验

## 3.1 单相变压器

### 3.1.1 实验目的

- (1) 通过空载和短路实验测定变压器的变比和参数。
- (2) 通过负载实验测取变压器的运行特性。

### 3.1.2 预习要点

- (1) 变压器的空载和短路实验有什么特点？实验中电源电压一般加在哪一方比较合适？
- (2) 在空载和短路实验中，各种仪表应怎样连接才能使测量误差最小？
- (3) 如何用实验方法测定变压器的铁耗及铜耗？

### 3.1.3 实验项目

#### 1. 空载实验

测取空载特性  $U_0 = f(I_0)$ ,  $P_0 = f(U_0)$ ,  $\cos\varphi_0 = f(U_0)$ 。

#### 2. 短路实验

测取短路特性  $U_k = f(I_k)$ ,  $P_k = f(I_k)$ ,  $\cos\varphi_k = f(I_k)$ 。

#### 3. 负载实验

##### 1) 纯电阻负载

保持  $U_1 = U_{1N}$ ,  $\cos\varphi_2 = 1$  的条件下, 测取  $U_2 = f(I_2)$ 。

##### 2) 纯感性负载

保持  $U_1 = U_{1N}$ ,  $\cos\varphi_2 = 0$  的条件下, 测取  $U_2 = f(I_2)$ 。

### 3.1.4 实验设备及仪器

- (1) MCL 系列电机教学实验台主控制屏(含交流电压表、交流电流表);
- (2) 功率表及功率因数表;
- (3) 单相变压器;
- (4) 三相可调电阻 900Ω(NMEL-03);
- (5) 开关板(NMEL-05B);
- (6) 三相可调电抗(NMEL-08A)。

### 3.1.5 实验方法

#### 1. 空载实验

实验线路如图 3-1 所示。

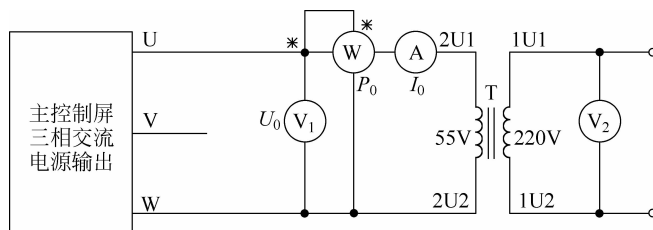


图 3-1 单相变压器空载实验接线图

变压器 T 选用 NMEL-01A 单独的组式变压器。实验时,变压器低压线圈 2U1、2U2 接电源,高压线圈 1U1、1U2 开路。

A、V<sub>1</sub>、V<sub>2</sub> 分别为交流电流表、交流电压表。电压表只有一只,则只能交替观察变压器的原、副边电压读数。

W 为功率表,接线时,须注意电压线圈和电流线圈的同名端,避免接错线。

(1) 在三相交流电源断电的条件下,将调压器旋钮沿逆时针方向旋转到底,并合理选择各仪表量程。

变压器 T 额定容量  $P_N = 77W$ ,  $U_{1N}/U_{2N} = 220V/55V$ ,  $I_{1N}/I_{2N} = 0.35A/1.4A$ 。

(2) 合上交流电源总开关,即按下绿色“闭合”开关,顺时针调节调压器旋钮,观察电压表指示,使变压器空载电压  $U_0 = 1.2U_N$  ( $U_N = 55V$ )。

(3) 然后,逐次降低电源电压,控制在  $1.2U_N \sim 0.5U_N$  的范围内;测取变压器的  $U_0$ 、 $I_0$ 、 $P_0$ ,共取 6~7 组数据,记录于表 3-1 中。其中  $U = U_N$  的点必须测,且在该点附近测的点应密些。为了计算变压器的变化,在  $U_N$  以下测取原方电压的同时测取副方电压,填入表 3-1 中。

(4) 测量数据以后,断开三相电源,以便为下次实验做好准备。

表 3-1 单相变压器空载实验数据

序号	实验数据				计算数据	
	$U_0/V$	$I_0/A$	$P_0/W$	$U_2$	$\cos\varphi_k$	$K$
1						
2						
3						
4						
5						
6						
7						

## 2. 短路实验

实验线路如图 3-2 所示(每次改接线路时,都要关断电源)。

实验时,变压器 T 的高压线圈接电源,低压线圈直接短路。

A、V、W 分别为交流电流表、电压表、功率表,选择方法同空载实验。

(1) 断开三相交流电源,将调压器旋钮沿逆时针方向旋转到底,使输出电压为零。

## 16 电机与拖动控制实验及其 MATLAB 仿真

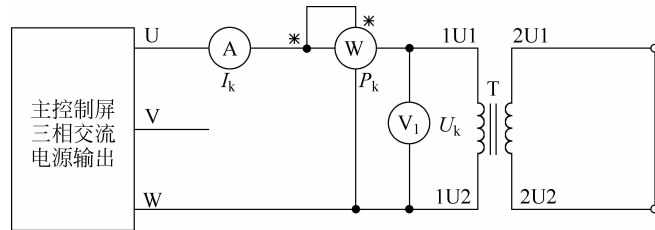


图 3-2 单相变压器短路试验接线图

(2) 合上交流电源绿色“闭合”开关,接通交流电源,逐次增加输入电压,直到短路电流等于  $1.1I_N$  ( $I_N=0.35A$ )为止。在  $0.5I_N \sim 1.1I_N$  范围内测取变压器的  $U_k$ 、 $I_k$ 、 $P_k$ , 共取 6~7 组数据,记录于表 3-2 中,其中  $I_k=I_N$  的点必须测,并记录实验时周围环境温度( $^{\circ}\text{C}$ )。

表 3-2 单相变压器短路实验数据

室温  $\theta = ^{\circ}\text{C}$

序号	实 验 数 �据			$\cos\varphi_k$
	$U_k/V$	$I_k/A$	$P_k/W$	
1				
2				
3				
4				
5				
6				
7				

### 3. 负载实验

实验线路如图 3-3 所示。

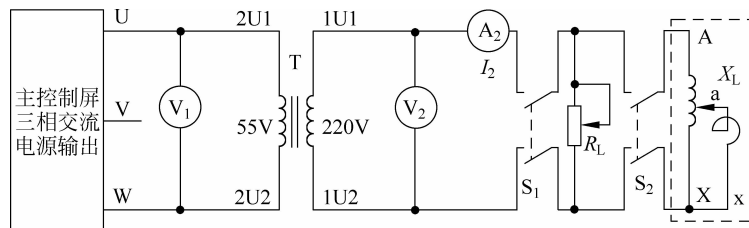


图 3-3 单相变压器负载实验接线图

变压器 T 低压线圈接电源,高压线圈经过开关  $S_1$  和  $S_2$ ,接到负载电阻  $R_L$  和电抗  $X_L$  上。 $R_L$  选用 NMEL-03 的两只  $900\Omega$  电阻相串联,  $X_L$  选用 NMEL-08A。开关  $S_1$ 、 $S_2$  采用 NMEL-05B 的双刀双掷开关,电压表、电流表、功率表的选择同空载实验。

#### 1) 纯电阻负载

(1) 未合上主电源前,将调压器调节旋钮沿逆时针方向调到底,  $S_1$ 、 $S_2$  断开,负载电阻值调到最大。

(2) 合上交流电源,逐渐升高电源电压,使变压器输入电压  $U_1=U_N=55\text{V}$ 。

(3) 在保持  $U_1=U_N$  的条件下,合下开关  $S_1$ ,逐渐增加负载电流,即减小负载电阻  $R_L$  的

值,从空载到额定负载范围内,测取变压器的输出电压  $U_2$  和电流  $I_2$ 。

(4) 测取数据时,  $I_2=0$  和  $I_2=I_{2N}=0.35A$  必须测,共取数据 6~7 组,记录于表 3-3 中。

表 3-3 单相变压器纯电阻负载实验数据

$$\cos\varphi_2 = 1 \quad U_1 = U_{1N} = 55V$$

序号	1	2	3	4	5	6	7
$U_2/V$							
$I_2/A$							

## 2) 纯感性负载

(1) 用电抗器  $X_L$  作为变压器的负载,将调压器调节旋钮沿逆时针方向调到底,  $S_1, S_2$  断开,负载电抗值调到最大。

(2) 合上交流电源,逐渐升高电源电压,使变压器输入电压  $U_1=U_{1N}=55V$ 。

(3) 在保持  $U_1=U_{1N}$  的条件下,合下开关  $S_2$ ,逐渐增加负载电流,即减小负载电抗  $X_L$  的值,从空载到额定负载范围内,测取变压器的输出电压  $U_2$  和电流  $I_2$ 。

(4) 测取数据时,  $I_2=0$  和  $I_2=I_{2N}=0.35A$  必须测,共取数据 6~7 组,记录于表 3-4 中。

表 3-4 单相变压器纯电感负载实验数据

$$\cos\varphi_2 = 0 \quad U_1 = U_{1N} = 55V$$

序号	1	2	3	4	5	6	7
$U_2/V$							
$I_2/A$							

## 注意事项:

(1) 在变压器实验中,应注意电压表、电流表、功率表的合理布置。

(2) 短路实验操作要快,否则线圈发热会引起电阻变化。

## 3.1.6 实验报告

### 1. 计算变比

由空载实验测取变压器的原、副方电压,分别计算出变比,然后取其平均值作为变压器的变比  $K$ 。

$$K = U_0/U_2$$

### 2. 绘出空载特性曲线和计算励磁参数

(1) 绘出空载特性曲线  $U_0=f(I_0)$ ,  $P_0=f(U_0)$ ,  $\cos\varphi_0=f(U_0)$ 。式中  $\cos\varphi_0=\frac{P_0}{U_0 I_0}$ 。

(2) 计算励磁参数。

从空载特性曲线上查出对应于  $U_0=U_{1N}$  时的  $I_0$  和  $P_0$  值,并由下式算出励磁参数:

$$r_m = \frac{P_0}{I_0^2}, \quad Z_m = \frac{U_0}{I_0}, \quad X_m = \sqrt{Z_m^2 - r_m^2}$$

### 3. 绘出短路特性曲线和计算短路参数

(1) 绘出短路特性曲线  $U_k=f(I_k)$ ,  $P_k=f(I_k)$ ,  $\cos\varphi_k=f(I_k)$ 。

## 18 电机与拖动控制实验及其 MATLAB 仿真

(2) 计算短路参数。

从短路特性曲线上查出对应于短路电流  $I_k = I_N$  时的  $U_k$  和  $P_k$  值,由下式算出实验环境温度为  $\theta$ ( $^{\circ}$ C)时的短路参数:

$$Z'_k = \frac{U_k}{I_k}, \quad r'_k = \frac{P_k}{I_k^2}, \quad X'_k = \sqrt{Z'^2 - r'^2}$$

$$\text{折算到低压方: } Z_k = \frac{Z'_k}{K^2}, r_k = \frac{r'_k}{K^2}, X_k = \frac{X'_k}{K^2}$$

由于短路电阻  $r_k$  随温度而变化,因此,算出的短路电阻应按国家标准换算到基准工作温度  $75^{\circ}\text{C}$  时的阻值。

$$r_{k75^{\circ}\text{C}} = r_{k\theta} \frac{234.5 + 75}{234.5 + \theta}$$

$$Z_{k75^{\circ}\text{C}} = \sqrt{r_{k75^{\circ}\text{C}} + X_k^2}$$

式中,234.5 为铜导线的常数,若用铝导线常数应改为 228。

计算阻抗电压(短路电压)百分数:

$$U_k = \frac{I_N Z_{k75^{\circ}\text{C}}}{U_N} \times 100\%$$

$$U_{kr} = \frac{I_N r_{k75^{\circ}\text{C}}}{U_N} \times 100\%$$

$$U_{kx} = \frac{I_N X_k}{U_N} \times 100\%$$

$I_k = I_N$  时的短路损耗  $p_{kN} = I_N^2 r_{k75^{\circ}\text{C}}$ 。

### 4. 画 T型等效电路

利用空载和短路实验测定的参数,画出被试变压器折算到低压侧的 T型等效电路。

### 5. 变压器的电压变化率 $\Delta u$

(1) 绘出  $\cos\varphi_2 = 1$  和  $\cos\varphi_2 = 0$  两条外特性曲线  $U_2 = f(I_2)$ ,由特性曲线计算出  $I_2 = I_{2N}$  时的电压变化率  $\Delta u$ 。

$$\Delta u = \frac{U_{20} - U_2}{U_{20}} \times 100\%$$

(2) 根据实验求出的参数,算出  $I_2 = I_{2N}$ 、 $\cos\varphi_2 = 1$  和  $I_2 = I_{2N}$ 、 $\cos\varphi_2 = 0$  时的电压变化率  $\Delta u$ 。

$$\Delta u = u_{kr} \cos\varphi_2 + u_{kx} \sin\varphi_2$$

将两种计算结果进行比较,并分析不同性质的负载对输出电压的影响。

## 3.2 三相变压器

### 3.2.1 实验目的

- (1) 通过空载和短路实验,测定三相变压器的变比和参数。
- (2) 通过负载实验,测取三相变压器的运行特性。

### 3.2.2 预习要点

- (1) 如何用双瓦特计法测三相功率? 空载和短路实验应如何合理布置仪表?
- (2) 三相芯式变压器的三相空载电流是否对称? 为什么?

- (3) 如何测定三相变压器的铁耗和铜耗?  
 (4) 变压器空载和短路实验应注意哪些问题? 电源应加在哪一方比较合适?

### 3.2.3 实验项目

#### 1. 测定变比

#### 2. 空载实验

测取空载特性  $U_0 = f(I_0)$ ,  $P_0 = f(U_0)$ ,  $\cos\varphi_0 = f(U_0)$ 。

#### 3. 短路实验

测取短路特性  $U_k = f(I_k)$ ,  $P_k = f(I_k)$ ,  $\cos\varphi_k = f(I_k)$ 。

#### 4. 纯电感负载实验

保持  $U_1 = U_{1N}$ ,  $\cos\varphi_2 = 0$  的条件下, 测取  $U_2 = f(I_2)$ 。

### 3.2.4 实验设备及仪器

- (1) MCL 系列电机教学实验台主控制屏(含交流电压表、交流电流表);
- (2) 功率表及功率因数表;
- (3) 三相芯式变压器(NMEL-02);
- (4) 开关板(NMEL-05B);
- (5) 三相可调电抗(NMEL-08A)。

### 3.2.5 实验方法

#### 1. 测定变比

实验线路如图 3-4 所示, 被试变压器选用 NMEL-02 三相三线圈芯式变压器, 额定容量  $P_N = 152W/152W/152W$ ,  $U_N = 220V/63.5V/55V$ ,  $I_N = 0.4A/1.38A/1.6A$ ,  $Y/\Delta/Y$  接法。实验时只用高、低压两组线圈, 中压线圈不用。

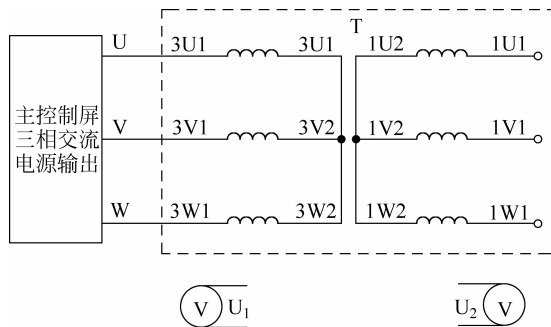


图 3-4 三相变压器变比实验接线图

(1) 在三相交流电源断电的条件下, 将调压器旋钮沿逆时针方向旋转到底, 并合理选择各仪表量程。

(2) 合上交流电源总开关, 即按下绿色“闭合”开关, 沿顺时针方向调节调压器旋钮, 使变压器空载电压  $U_0 = 0.5U_N = 27.5V$ , 测取高、低压线圈的线电压  $U_{1U1 \cdot 1V1}$ ,  $U_{1V1 \cdot 1W1}$ ,  $U_{1W1 \cdot 1U1}$ ,  $U_{3U1 \cdot 3V1}$ ,  $U_{3V1 \cdot 3W1}$ ,  $U_{3W1 \cdot 3U1}$ , 记录于表 3-5 中。

表 3-5 变比测量数据

$$K_{\text{UV}} = U_{1\text{U}1 \cdot 1\text{V}1} / U_{3\text{U}1 \cdot 3\text{V}1}$$

$$K_{\text{VW}} = U_{1\text{V1} \cdot 1\text{W1}} / U_{3\text{V1} \cdot 3\text{W1}}$$

$$K_{\text{WU}} = U_{1\text{W1} \cdot 1\text{U1}} / U_{3\text{W1} \cdot 3\text{U1}}$$

## 2. 空载实验

实验线路如图 3-5 所示,变压器 T 选用 NMEL-02 三相芯式变压器。实验时,变压器低压线圈接电源,高压线圈开路。

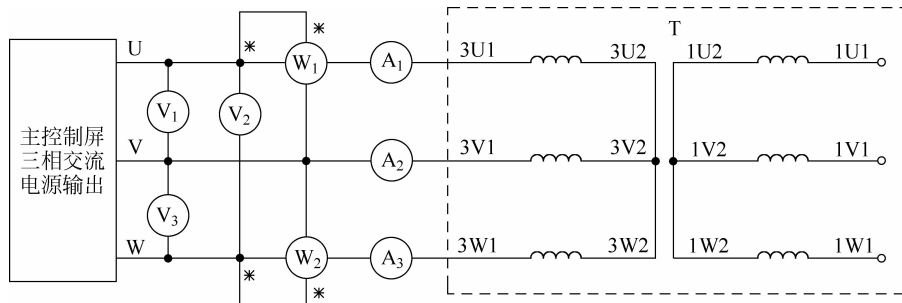


图 3-5 三相变压器空载实验接线图

A、V、W 分别为交流电流表、交流电压表、功率表。由于三相对称，交流电流表、交流电压表只要接入一只即可。

(1) 接通电源前,先将交流电源调到输出电压为零的位置。合上交流电源总开关,即按下绿色“闭合”开关,沿顺时针方向调节调压器旋钮,使变压器空载电压  $U_0=1.2U_N$  ( $U_N=55V$ )。

(2) 逐次降低电源电压,在  $1.2U_N \sim 0.5U_N$  的范围内; 测取变压器的三相线电压、电流和功率,共取 6~7 组数据,记录于表 3-6 中。其中  $U=U_N$  的点必须测,且在该点附近测的点应密些。

(3) 测量数据以后,断开三相电源,以便为下次实验做好准备。

表 3-6 三相变压器空载实验数据

### 3. 短路实验

实验线路如图 3-6 所示, 变压器高压线圈接电源, 低压线圈直接短路。

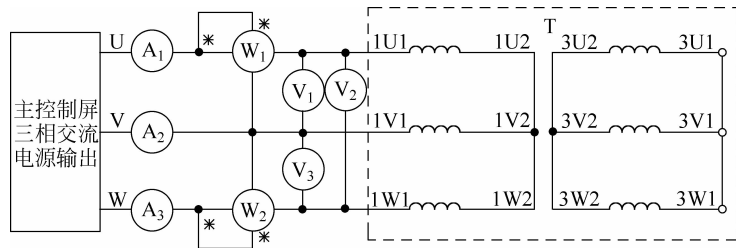


图 3-6 三相变压器短路实验接线图

接通电源前, 将交流电压调到输出电压为零的位置, 接通电源后, 逐渐增大电源电压, 使变压器的短路电流  $I_k = 1.1I_N$  ( $I_N = 0.4A$ )。然后逐次降低电源电压, 在  $1.1I_N \sim 0.5I_N$  范围内, 测取变压器的三相输入电压、电流及功率, 共取 4~5 组数据, 记录于表 3-7 中。其中  $I_k = I_N$  点必须测。实验时, 记下周围环境温度(℃), 作为线圈的实际温度。

表 3-7 三相变压器短路实验数据(室温  $\theta = \text{ }^{\circ}\text{C}$ )

序号	实验数据								$\cos\varphi_k = P_k / \sqrt{3} U_k I_k$	
	U <sub>k</sub> /V			I <sub>k</sub> /A			P <sub>k</sub> /W			
	U <sub>1U1·1V1</sub>	U <sub>1V1·1W1</sub>	U <sub>1W1·1U1</sub>	I <sub>1U1k</sub>	I <sub>1V1k</sub>	I <sub>1W1k</sub>	P <sub>k1</sub>	P <sub>k2</sub>		
1										
2										
3										
4										
5										

### 4. 纯电感负载实验

实验线路如图 3-7 所示, 变压器低压线圈接电源, 高压线圈经开关 S(NMEL-05B)接负载电抗器  $X_L$ ,  $X_L$  选用 NMEL-08 中的三相电抗器。

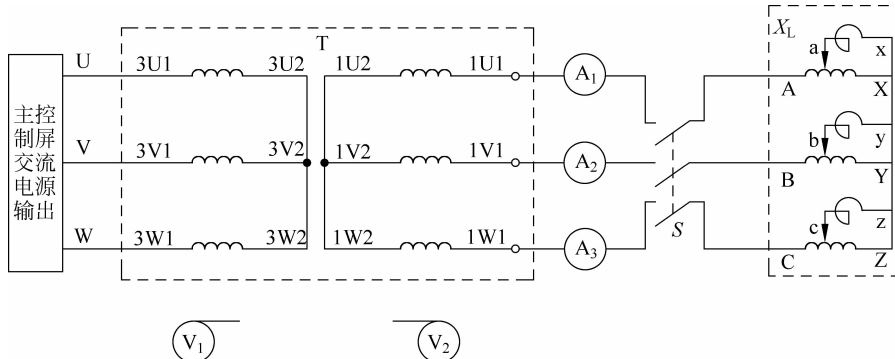


图 3-7 三相变压器负载实验接线图

## 22 电机与拖动控制实验及其 MATLAB 仿真

(1) 将负载电抗  $X_L$  调至最大, 合上开关 S 接通电源, 调节交流电压, 使变压器的输入电压  $U_1 = U_{1N}$ 。

(2) 在保持  $U_1 = U_{1N}$  的条件下, 逐次增加负载电流, 从空载到额定负载范围内, 测取变压器三相输出线电压和相电流, 共取 5~6 组数据, 记录于表 3-8 中。其中  $I_2 = 0$  和  $I_2 = I_N$  两点必须测。

表 3-8 三相变压器纯电感负载实验数据

序号	U/V				I/A			
	$U_{1U1 \cdot 1V1}$	$U_{1V1 \cdot 1W1}$	$U_{1W1 \cdot 1U1}$	$U_2$	$I_{1U1}$	$I_{1V1}$	$I_{1W1}$	$I_2$
1								
2								
3								
4								
5								
6								

### 注意事项:

- (1) 在三相变压器实验中, 应注意电压表、电流表和功率表的合理布置。
- (2) 做短路实验时操作要快, 否则线圈发热会引起电阻变化。

### 3.2.6 实验报告

#### 1. 计算变压器的变比

根据实验数据, 计算出各线电压之比, 然后取其平均值作为变压器的变比。

$$K_{UV} = \frac{U_{1U1 \cdot 1V1}}{U_{3U1 \cdot 3V1}}, \quad K_{VW} = \frac{U_{1V1 \cdot 1W1}}{U_{3V1 \cdot 3W1}}, \quad K_{WU} = \frac{U_{1W1 \cdot 1U1}}{U_{3W1 \cdot 3U1}}$$

#### 2. 根据空载实验数据作空载特性曲线并计算励磁参数

(1) 绘出空载特性曲线  $U_0 = f(I_0)$ ,  $P_0 = f(U_0)$ ,  $\cos\varphi_0 = f(U_0)$ 。

式中

$$P_0 = P_{01} + P_{02}$$

#### (2) 计算励磁参数

从空载特性曲线查出对应于  $U_0 = U_N$  时的  $I_0$  和  $P_0$  值, 并由下式求取励磁参数:

$$r_m = \frac{P_0}{3I_0^2}, \quad Z_m = \frac{U_0}{\sqrt{3}I_0}, \quad X_m = \sqrt{Z_m^2 - r_m^2}$$

#### 3. 绘出短路特性曲线和计算短路参数

(1) 绘出短路特性曲线  $U_k = f(I_k)$ ,  $P_k = f(I_k)$ ,  $\cos\varphi_k = f(I_k)$ 。

式中

$$P_k = P_{k1} + P_{k2}$$

#### (2) 计算短路参数

从短路特性曲线查出对应于  $I_k = I_N$  时的  $U_k$  和  $P_k$  值, 并由下式算出实验环境温度  $\theta$ (℃)时的短路参数:

$$r'_k = \frac{P_k}{3I_N^2}, \quad Z'_k = \frac{U_k}{\sqrt{3}I_N}, \quad X'_k = \sqrt{Z'_k^2 - r'^2_k}$$

折算到低压方

$$Z_k = \frac{Z'_k}{K^2}, \quad r_k = \frac{r'_k}{K^2}, \quad X_k = \frac{X'_k}{K^2}$$

换算到基准工作温度的短路参数为  $r_{k75^\circ\text{C}}$  和  $Z_{k75^\circ\text{C}}$ , 计算出阻抗电压。

$$U_k = \frac{\sqrt{3} I_N Z_{k75^\circ\text{C}}}{U_N} \times 100\%$$

$$U_{kr} = \frac{\sqrt{3} I_N r_{k75^\circ\text{C}}}{U_N} \times 100\%$$

$$U_{kx} = \frac{\sqrt{3} I_N X_k}{U_N} \times 100\%$$

$I_k = I_N$  时的短路损耗  $P_{kN} = 3 I_N^2 r_{k75^\circ\text{C}}$

#### 4. 绘制等效电路

利用由空载和短路实验测定的参数,画出被试变压器的 T 型等效电路。

### 3.3 三相变压器的连接组和不对称短路

#### 3.3.1 实验目的

- (1) 掌握用实验方法测定三相变压器的同名端。
- (2) 掌握用实验方法判别变压器的连接组。
- (3) 研究三相变压器不对称短路。

#### 3.3.2 预习要点

- (1) 连接组的定义。为什么要研究连接组? 国家规定的标准连接组有哪几种?
- (2) 如何把Y/Y-12 连接组改成Y/Y-6 连接组以及把Y/△-11 改为Y/△-5 连接组?
- (3) 在不对称短路情况下,哪种连接的三相变压器电压中点偏移较大?

#### 3.3.3 实验项目

##### 1. 测定极性

- (1) 测定相间极性;
- (2) 测定原、副方极性。

##### 2. 检验联接组

- (1) Yy0;
- (2) Yy6;
- (3) Yd11;
- (4) Yd5。

##### 3. 不对称短路

- (1) Yyn 连接单相短路;
- (2) Yy 连接两相短路。

##### 4. 测定变压器的零序阻抗

### 3.3.4 实验设备及仪器

- (1) MCL 系列电机教学实验台主控制屏(含交流电压表、交流电流表);
- (2) 功率表及功率因数表;
- (3) 三相芯式变压器(NMEL-02)。

### 3.3.5 实验方法

#### 1. 测定极性

##### 1) 测定相间极性

被试变压器选用 NMEL-02 三相芯式变压器,用其中高压和低压两组绕组,额定容量  $P_N = 152/152\text{W}$ ,  $U_N = 220/55\text{V}$ ,  $I_N = 0.4/1.6\text{A}$ ,  $\text{Y/Y}$  接法。阻值大为高压绕组,用 1U1、1V1、1W1、1U2、1V2、1W2 标记。低压绕组用 3U1、3V1、3W1、3U2、3V2、3W2 标记。

(1) 按照图 3-8 接线,将 1U1、1U2 和电源 U、V 相连,1V2、1W2 两端点用导线相连。

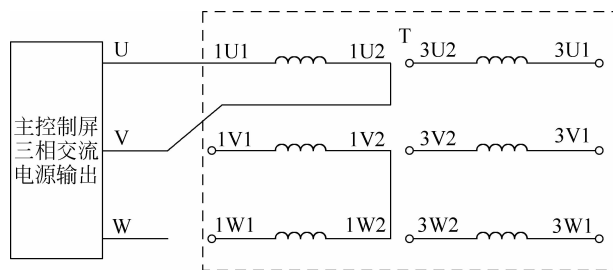


图 3-8 测定相间极性接线图

(2) 合上交流电源总开关,即按下绿色“闭合”开关,沿顺时针方向调节调压器旋钮,在 U、V 间施加约 50% 的额定电压。

(3) 测出电压  $U_{1V1 \cdot 1V2}$ 、 $U_{1W1 \cdot 1W2}$ 、 $U_{1V1 \cdot 1W1}$ ,若  $U_{1V1 \cdot 1W1} = |U_{1V1 \cdot 1V2} - U_{1W1 \cdot 1W2}|$ ,则首末端标记正确;若  $U_{1V1 \cdot 1W1} = |U_{1V1 \cdot 1V2} + U_{1W1 \cdot 1W2}|$ ,则标记不对。需将 V、W 两相任一相绕组的首末端标记对调。然后用同样方法,将 V、W 两相中的任一相施加电压,另外两相末端相连,确定出每相首、末端正确的标记。

##### 2) 测定原、副方极性

(1) 暂时标出三相低压绕组的标记 3U1、3V1、3W1、3U2、3V2、3W2,然后按照图 3-9 接线。原、副方中点用导线相连。

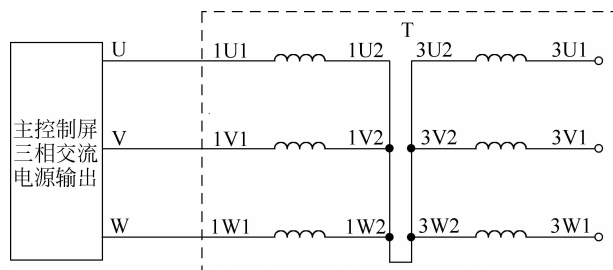


图 3-9 测定原、副方极性接线图

(2) 高压三相绕组施加约 50% 的额定电压, 测出电压  $U_{1U1 \cdot 1U2}$ 、 $U_{1V1 \cdot 1V2}$ 、 $U_{1W1 \cdot 1W2}$ 、 $U_{3U1 \cdot 3U2}$ 、 $U_{3V1 \cdot 3V2}$ 、 $U_{3W1 \cdot 3W2}$ 、 $U_{1U1 \cdot 3U1}$ 、 $U_{1V1 \cdot 3V1}$ 、 $U_{1W1 \cdot 3W1}$ , 若  $U_{1U1 \cdot 3U1} = U_{1U1 \cdot 1U2} - U_{3U1 \cdot 3U2}$ , 则 U 相高、低压绕组同柱, 并且首端 1U1 与 3U1 点为同极性; 若  $U_{1U1 \cdot 3U1} = U_{1U1 \cdot 1U2} + U_{3U1 \cdot 3U2}$ , 则 1U1 与 3U1 端点为异极性。

(3) 用同样的方法判别出 1V1、1W1 两相原、副方的极性。高低压三相绕组的极性确定后, 根据要求连接出不同的连接组。

## 2. 检验连接组

### 1) Yy0

按照图 3-10 接线。1U1、3U1 两端点用导线连接, 在高压方施加三相对称的额定电压, 测出  $U_{1U1 \cdot 1V1}$ 、 $U_{3U1 \cdot 3V1}$ 、 $U_{1V1 \cdot 3V1}$ 、 $U_{1W1 \cdot 3W1}$  及  $U_{1V1 \cdot 3W1}$ , 将数字记录于表 3-9 中。

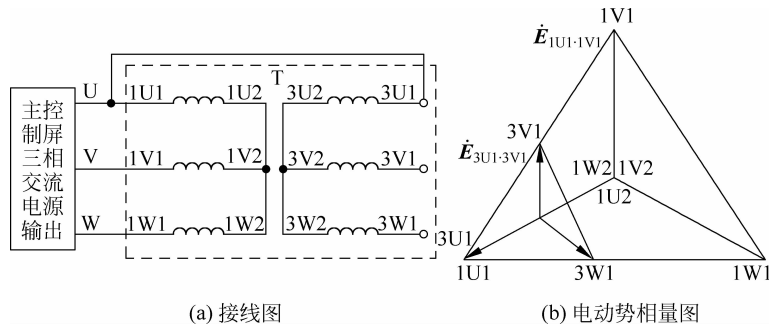


图 3-10 Yy0 连接组

表 3-9 Yy0 连接组实验数据

实 验 数 据					计 算 数 据			
$U_{1U1 \cdot 1V1}/V$	$U_{3U1 \cdot 3V1}/V$	$U_{1V1 \cdot 3V1}/V$	$U_{1W1 \cdot 3W1}/V$	$U_{1V1 \cdot 3W1}/V$	$K_L$	$U_{1V1 \cdot 3V1}/V$	$U_{1W1 \cdot 3W1}/V$	$U_{1V1 \cdot 3W1}/V$

根据 Yy0 连接组的电动势相量图可知:

$$U_{1V1 \cdot 3V1} = U_{1W1 \cdot 3W1} = (K_L - 1)U_{3U1 \cdot 3V1}$$

$$U_{1V1 \cdot 3W1} = U_{3U1 \cdot 3V1} / (K_L^2 - K_L + 1)$$

$$K_L = \frac{U_{1U1 \cdot 1V1}}{U_{3U1 \cdot 3V1}}$$

若用两式计算出的电压  $U_{1V1 \cdot 3V1}$ 、 $U_{1W1 \cdot 3W1}$ 、 $U_{1V1 \cdot 3W1}$  的数值与实验测取的数值相同, 则表示连线图连接正常, 属于 Yy0 连接组。

### 2) Yy6

将 Yy0 连接组的副方绕组首、末端标记对调, 1U1、3U1 两点用导线相连, 如图 3-11 所示。

按照前面方法测出电压  $U_{1U1 \cdot 1V1}$ 、 $U_{3U1 \cdot 3V1}$ 、 $U_{1V1 \cdot 3V1}$ 、 $U_{1W1 \cdot 3W1}$  及  $U_{1V1 \cdot 3W1}$ , 将数据记录于表 3-10 中。

根据 Yy6 连接组的电动势相量图可得

$$U_{1V1 \cdot 3V1} = U_{1W1 \cdot 3W1} = (K_L + 1)U_{3U1 \cdot 3V1}$$

$$U_{1V1 \cdot 3W1} = U_{3U1 \cdot 3V1} / (K_L^2 - K_L + 1)$$

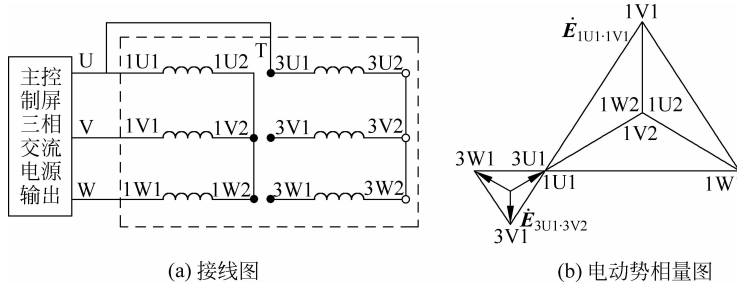


图 3-11 Yy6 连接组

若由上两式计算出电压  $U_{1V1 \cdot 3V1}$ 、 $U_{1W1 \cdot 3W1}$ 、 $U_{1V1 \cdot 3W1}$  的数值与实测相同，则线圈连接正确，属于 Yy6 连接组。

表 3-10 Yy6 连接组实验数据

实验数据					计算数据			
$U_{1U1 \cdot 1V1}/V$	$U_{3U1 \cdot 3V1}/V$	$U_{1V1 \cdot 3V1}/V$	$U_{1W1 \cdot 3W1}/V$	$U_{1V1 \cdot 3W1}/V$	$K_L$	$U_{1V1 \cdot 3V1}/V$	$U_{1W1 \cdot 3W1}/V$	$U_{1V1 \cdot 3W1}/V$

## 3) Yd11

按图 3-12 接线。1U1、3U1 两端点用导线相连，高压方施加对称额定电压，测取  $U_{1U1 \cdot 1V1}$ 、 $U_{3U1 \cdot 3V1}$ 、 $U_{1V1 \cdot 3V1}$ 、 $U_{1W1 \cdot 3W1}$  及  $U_{1V1 \cdot 3W1}$ ，将数据记录于表 3-11 中。

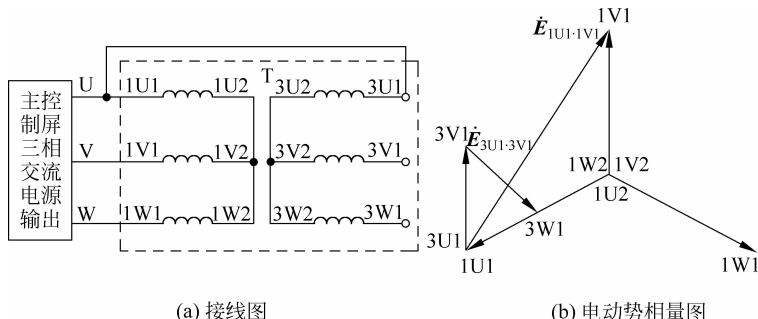


图 3-12 Yd11 连接组

表 3-11 Yd11 连接组实验数据

实验数据					计算数据			
$U_{1U1 \cdot 1V1}/V$	$U_{3U1 \cdot 3V1}/V$	$U_{1V1 \cdot 3V1}/V$	$U_{1W1 \cdot 3W1}/V$	$U_{1V1 \cdot 3W1}/V$	$K_L$	$U_{1V1 \cdot 3V1}/V$	$U_{1W1 \cdot 3W1}/V$	$U_{1V1 \cdot 3W1}/V$

根据 Yd11 连接组的电动势相量可得

$$U_{1U1 \cdot 3V1} = U_{1W1 \cdot 3W1} = U_{1V1 \cdot 3W1} = U_{3U1 \cdot 3V1} / \sqrt{K_L^2 + \sqrt{3} K_L + 1}$$

若由上式计算出的电压  $U_{1V1 \cdot 3V1}$ 、 $U_{1W1 \cdot 3W1}$ 、 $U_{1V1 \cdot 3W1}$  的数值与实测值相同，则线圈连接正确，属于 Yd11 连接组。

## 4) Yd5

将 Yd11 连接组的副方线圈首、末端的标记对调，如图 3-13 所示。

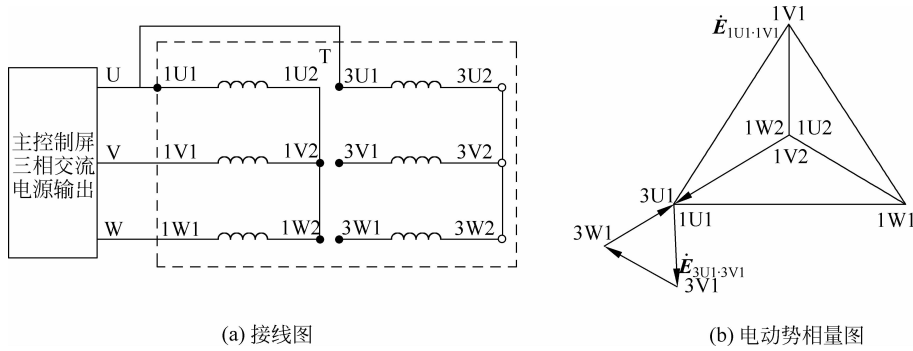


图 3-13 Yd5 连接组

实验方法同前, 测取  $U_{1U1 \cdot 1V1}$ 、 $U_{3U1 \cdot 3V1}$ 、 $U_{1V1 \cdot 3V1}$ 、 $U_{1W1 \cdot 3W1}$ 、 $U_{1V1 \cdot 3W1}$ , 将数据记录于表 3-12 中。

表 3-12 Yd5 连接组实验数据

实 验 数 �据					计 算 数 据			
$U_{1U1 \cdot 1V1}/V$	$U_{3U1 \cdot 3V1}/V$	$U_{1V1 \cdot 3V1}/V$	$U_{1W1 \cdot 3W1}/V$	$U_{1V1 \cdot 3W1}/V$	$K_L$	$U_{1V1 \cdot 3V1}/V$	$U_{1W1 \cdot 3W1}/V$	$U_{1V1 \cdot 3W1}/V$

根据 Yd5 连接组的电动势相量图可得

$$U_{1V1 \cdot 3V1} = U_{1W1 \cdot 3W1} = U_{1V1 \cdot 3W1} = U_{3U1 \cdot 3V1} / \sqrt{K_L^2 + \sqrt{3} K_L + 1}$$

若由上式计算出的电压  $U_{1V1 \cdot 3V1}$ 、 $U_{1W1 \cdot 3W1}$ 、 $U_{1V1 \cdot 3W1}$  的数值与实测值相同, 则线圈连接正确, 属于 Yd5 连接组。

### 3. 不对称短路

#### 1) Yyn 连接单相短路

实验线路如图 3-14 所示。被试变压器选用三相芯式变压器。接通电源前, 先将交流电压调到输出电压为零的位置; 然后接通电源, 逐渐增加外施电压, 直至副方短路电流  $I_{2k} = I_{2N}$  为止。测取副方短路电流和相电压  $I_{2k}$ 、 $U_{3U1}$ 、 $U_{3V1}$ 、 $U_{3W1}$ , 原方电流和电压  $I_{1U1}$ 、 $I_{1V1}$ 、 $I_{1W1}$ 、 $U_{1U1}$ 、 $U_{1V1}$ 、 $U_{1W1}$ 、 $U_{1U1 \cdot 1V1}$ 、 $U_{1V1 \cdot 1W1}$ 、 $U_{1W1 \cdot 1U1}$ , 将数据记录于表 3-13 中。

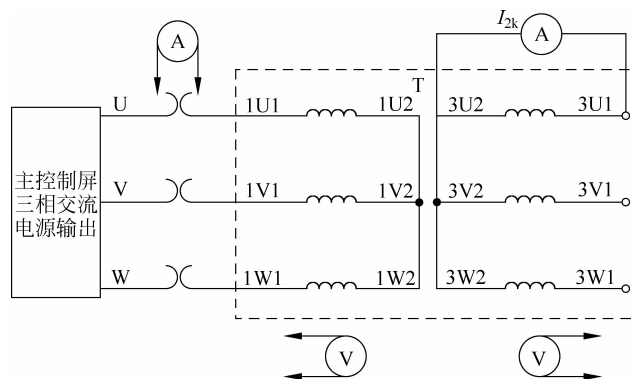


图 3-14 Yyn 连接单相短路接线图

表 3-13 Yyn 连接单相短路实验数据

$I_{2k}/A$	$U_{3U1}/V$	$U_{3V1}/V$	$U_{3W1}/V$	$I_{1U1}/A$	$I_{1V1}/A$	$I_{1W1}/A$
$U_{1U1}/V$	$U_{1V1}/V$	$U_{1W1}/V$	$U_{1U1+1V1}/V$	$U_{1V1+1W1}/V$	$U_{1W1+1U1}/V$	

2) Y/Y连接两相短路

实验线路如图 3-15 所示。接通三相芯式变压器电源前,先将电压调至零;然后接通电源,逐渐增加外施电压,直至  $I_{2k} \approx I_{2N}$  为止。测取变压器原、副方电流和相电压  $I_{2k}$ 、 $U_{3U1}$ 、 $U_{3V1}$ 、 $U_{3W1}$ 、 $I_{1U1}$ 、 $I_{1V1}$ 、 $I_{1W1}$ 、 $U_{1U1}$ 、 $U_{1V1}$ 、 $U_{1W1}$ ,将数据记录于表 3-14 中。

表 3-14 Yy 连接两相短路实验数据

$I_{2k}/A$	$U_{3U1}/V$	$U_{3V1}/V$	$U_{3W1}/V$	$I_{1U1}/A$
$I_{1V1}/A$	$I_{1W1}/A$	$U_{1U1}/V$	$U_{1V1}/V$	$U_{1W1}/V$

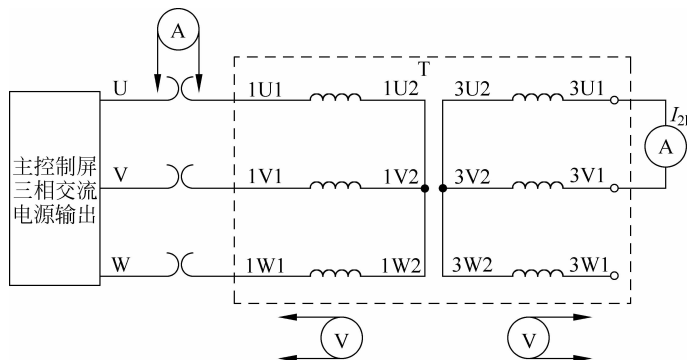


图 3-15 Yy 连接两相短路接线图

#### 4. 测定变压器的零序阻抗

实验线路如图 3-16 所示。三相芯式变压器的高压绕组开路,三相低压绕组首、末端串联后接到电源。接通电源前,将电压调至零;接通电源后,逐渐增加外施电压,在输入电流  $I_0 = 0.25I_N$  和  $I_0 = 0.5I_N$  的两种情况下,测取变压器的  $I_0$ 、 $U_0$  和  $P_0$ ,将数据记录于表 3-15 中。

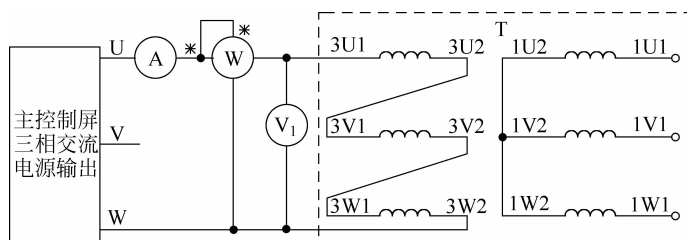


图 3-16 测定变压器零序阻抗接线图

表 3-15 测定变压器零序阻抗实验数据

$I_0/A$	$U_0/V$	$P_0/W$
$0.25I_N =$		
$0.5I_N =$		

### 3.3.6 实验报告

(1) 计算出不同连接组时的  $U_{1U1 \cdot 3V1}$ 、 $U_{1W1 \cdot 3W1}$ 、 $U_{1V1 \cdot 3W1}$  的数值，并与实测值进行比较，判别绕组连接是否正确。

(2) 计算零序阻抗。

Yyn 三相芯式变压器的零序参数由下式求得：

$$Z_0 = \frac{U_0}{3I_0}, \quad r_0 = \frac{P_0}{3I_0^2}, \quad X_0 = \sqrt{Z_0^2 - r_0^2}$$

分别算出  $I_0 = 0.25I_N$  和  $I_0 = 0.5I_N$  时的  $Z_0$ 、 $R_0$ 、 $X_0$ ，取其平均值作为零序阻抗、零序电阻和零序电抗，并按下式算出标准值：

$$Z'_0 = \frac{I_{N\phi} Z_0}{U_{N\phi}}, \quad r'_0 = \frac{I_{N\phi} r_0}{U_{N\phi}}, \quad X'_0 = \frac{I_{N\phi} X_0}{U_{N\phi}}$$

式中  $I_{N\phi}$  和  $U_{N\phi}$  为变压器低压绕组的额定相电流和额定相电压。

(3) 计算短路情况下的原方电流。

① Yyn 单相短路。

副方电流  $\dot{I}_{3U1} = \dot{I}_{2k}$ ,  $\dot{I}_{3V1} = \dot{I}_{2W1} = 0$

原方电流，设略去励磁电流不计，则

$$\dot{I}_{1U1} = -\frac{2}{3K} \dot{I}_{2k}, \quad \dot{I}_{1V1} = \dot{I}_{1W1} = \frac{\dot{I}_{2k}}{3K}$$

式中  $K$  为变压器的变比。

将  $I_{1U1}$ 、 $I_{1V1}$ 、 $I_{1W1}$  计算值与实测值进行比较，分析产生误差的原因，并讨论 Yyn 三相组式变压器带单相负载的能力以及中点移动的原因。

② Yy 两相短路。

副方电流  $\dot{I}_{3U1} = -\dot{I}_{3V1} = \dot{I}_{2k}$ ,  $\dot{I}_{3W1} = 0$

原方电流  $\dot{I}_{1U1} = -\dot{I}_{1V1} = -\frac{\dot{I}_{2k}}{K}$ ,  $\dot{I}_{1W1} = 0$

将  $I_{1U1}$ 、 $I_{1V1}$ 、 $I_{1W1}$  计算值与实测值进行比较，分析产生误差的原因，并讨论 Yy 带单相负载是否有中点移动的现象？为什么？

### 3.3.7 附录

变压器连接组校核公式

(设： $U_{3U1 \cdot 3V1} = 1$ ,  $U_{1U1 \cdot 1V1} = K_L$ ,  $U_{3U1 \cdot 3V1} = K_L$ )

组 别	$U_{1V1 \cdot 3V1} = U_{1W1 \cdot 3W1}$	$U_{1V1 \cdot 3W1}$	$U_{1V1 \cdot 3W1} / U_{1V1 \cdot 3V1}$
0	$K_L - 1$	$\sqrt{K_L^2 - K_L + 1}$	$> 1$
1	$\sqrt{K_L^2 - \sqrt{3}K_L + 1}$	$\sqrt{K_L^2 + 1}$	$> 1$
2	$\sqrt{K_L^2 - K_L + 1}$	$\sqrt{K_L^2 + K_L + 1}$	$> 1$
3	$\sqrt{K_L^2 + 1}$	$\sqrt{K_L^2 + \sqrt{3}K_L + 1}$	$> 1$
4	$\sqrt{K_L^2 + K_L + 1}$	$K_L + 1$	$> 1$
5	$\sqrt{K_L^2 + \sqrt{3}K_L + 1}$	$\sqrt{K_L^2 + \sqrt{3}K_L + 1}$	$= 1$
6	$K_L + 1$	$\sqrt{K_L^2 + K_L + 1}$	$< 1$
7	$\sqrt{K_L^2 - \sqrt{3}K_L + 1}$	$\sqrt{K_L^2 + 1}$	$< 1$
8	$\sqrt{K_L^2 + K_L + 1}$	$\sqrt{K_L^2 - K_L + 1}$	$< 1$
9	$\sqrt{K_L^2 + 1}$	$\sqrt{K_L^2 - \sqrt{3}K_L + 1}$	$< 1$
10	$\sqrt{K_L^2 - K_L + 1}$	$K_L - 1$	$< 1$
11	$\sqrt{K_L^2 - \sqrt{3}K_L + 1}$	$\sqrt{K_L^2 - \sqrt{3}K_L + 1}$	$= 1$

## 3.4 三相变压器的并联运行

### 3.4.1 实验目的

- (1) 学习和掌握三相变压器投入并联运行的方法。
- (2) 分析和研究并联运行时阻抗电压对负载分配的影响。

### 3.4.2 预习要点

- (1) 三相变压器并联运行的条件。不同连接组并联后会出现什么后果?
- (2) 阻抗电压对负载分配的影响。

### 3.4.3 实验项目

1. 将两台三相变压器空载投入并联运行
2. 阻抗电压相等的两台三相变压器并联运行
3. 阻抗电压不相等的两台三相变压器并联运行

### 3.4.4 实验设备及仪器

- (1) MCL 系列电机教学实验台主控制屏(含交流电压表、交流电流表);
- (2) 功率表及功率因数表;
- (3) 三相芯式变压器(NMEL-02);
- (4) 三相可调电阻  $90\Omega$ (NMEL-04);
- (5) 开关板(NMEL-05B);
- (6) 三相可调电抗(NMEL-08A)。

### 3.4.5 实验方法

实验线路如图 3-17 所示。

图中变压器 I 和 II 选用两台 NMEL-02 三相芯式变压器, 其中不用低压线圈。根据实验 3.3 方法确定三相变压器原、副方极性后, 根据变压器的铭牌接成 Yy 接法。

将两台变压器的高压绕组并连接电源, 中压绕组经开关  $S_1$  并联后, 再由开关  $S_2$  接负载电阻  $R_L$ 。 $R_L$  选用 NMEL-04 的  $180\Omega$  阻值。

为了人为地改变变压器 II 的阻抗电压, 在变压器 II 的副方串入电抗  $X_L$  (或电阻  $R$ )。 $X_L$  选用 NMEL-08, 要注意选用  $R_L$  和  $X_L$  (或  $R$ ) 的允许电流应大于实验时实际流过的电流。

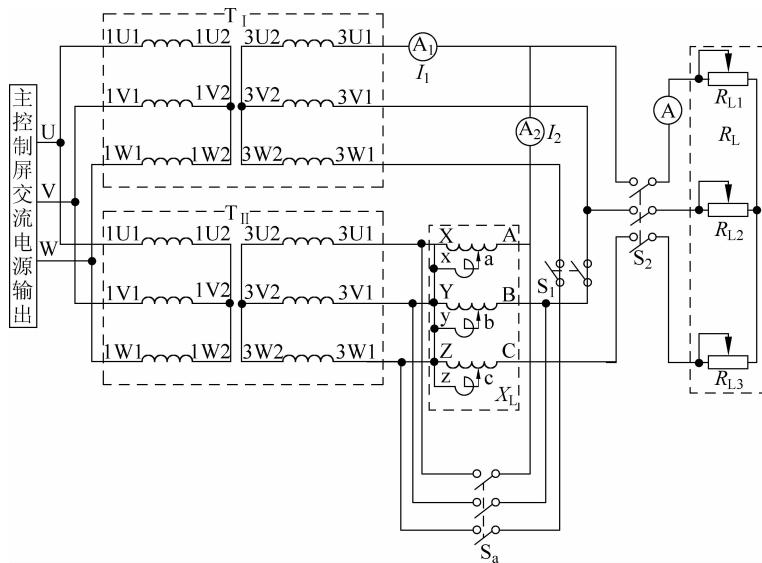


图 3-17 三相变压器并联运行实验接线图

#### 1. 两台三相变压器空载投入并联运行的步骤

(1) 检查变比和连接组。

接通电源前, 先打开  $S_1$ 、 $S_2$ , 合上  $S_a$ 。

然后接通电源, 调节变压器输入电压至额定电压。

测出变压器副方电压, 若电压相等, 则变比相同; 测出副方对应相的两端点间的电压, 若电压均为零, 则连接组相同。

(2) 投入并联运行。

在满足变比相等和连接组相同的条件后, 合上开关  $S_1$ , 即投入并联运行。

#### 2. 阻抗电压相等的两台三相变压器并联运行

投入并联后, 合上负载开关  $S_2$ 。

在保持  $U_1=U_{1N}$  不变的条件下, 逐次增加负载电流, 直至其中一台输出电流达到额定值为止。测取  $I$ 、 $I_1$ 、 $I_{II}$ , 共取 5~6 组数据, 记录于表 3-16 中。

表 3-16 三相变压器并联运行实验数据(阻抗电压相等)

序号	$I_1/A$	$I_2/A$	$I/A$
1			
2			
3			
4			
5			
6			

### 3. 阻抗电压不相等的两台三相变压器并联运行

打开短路开关  $S_a$ , 在变压器  $T_2$  的副方串入电抗  $X_L$ (或电阻  $R$ ),  $X_L$  的数值可根据需要调节。重复前面实验, 测取  $I, I_1, I_2$ , 共取 5~6 组数据, 记录于表 3-17 中。

表 3-17 三相变压器并联运行实验数据(阻抗电压不相等)

序号	$I_1/A$	$I_2/A$	$I/A$
1			
2			
3			
4			
5			
6			

### 3.4.6 实验报告

- (1) 根据实验(2)的数据, 画出负载分配曲线  $I_1 = f(I)$  及  $I_2 = f(I)$ 。
- (2) 根据实验(3)的数据, 画出负载分配曲线  $I_1 = f(I)$  及  $I_2 = f(I)$ 。
- (3) 分析实验中阻抗电压对负载分配的影响。